





Modellierung tertiärer Fazieseinheiten und geochemischer Faktoren in Bergbaufolgelandschaften - FuE-Abschlussbericht 2011 -

Anlage 6

Statistische Auswertung der kohlenchemischen Analysen

Bearbeitung Geochemie Braunkohlenflöze

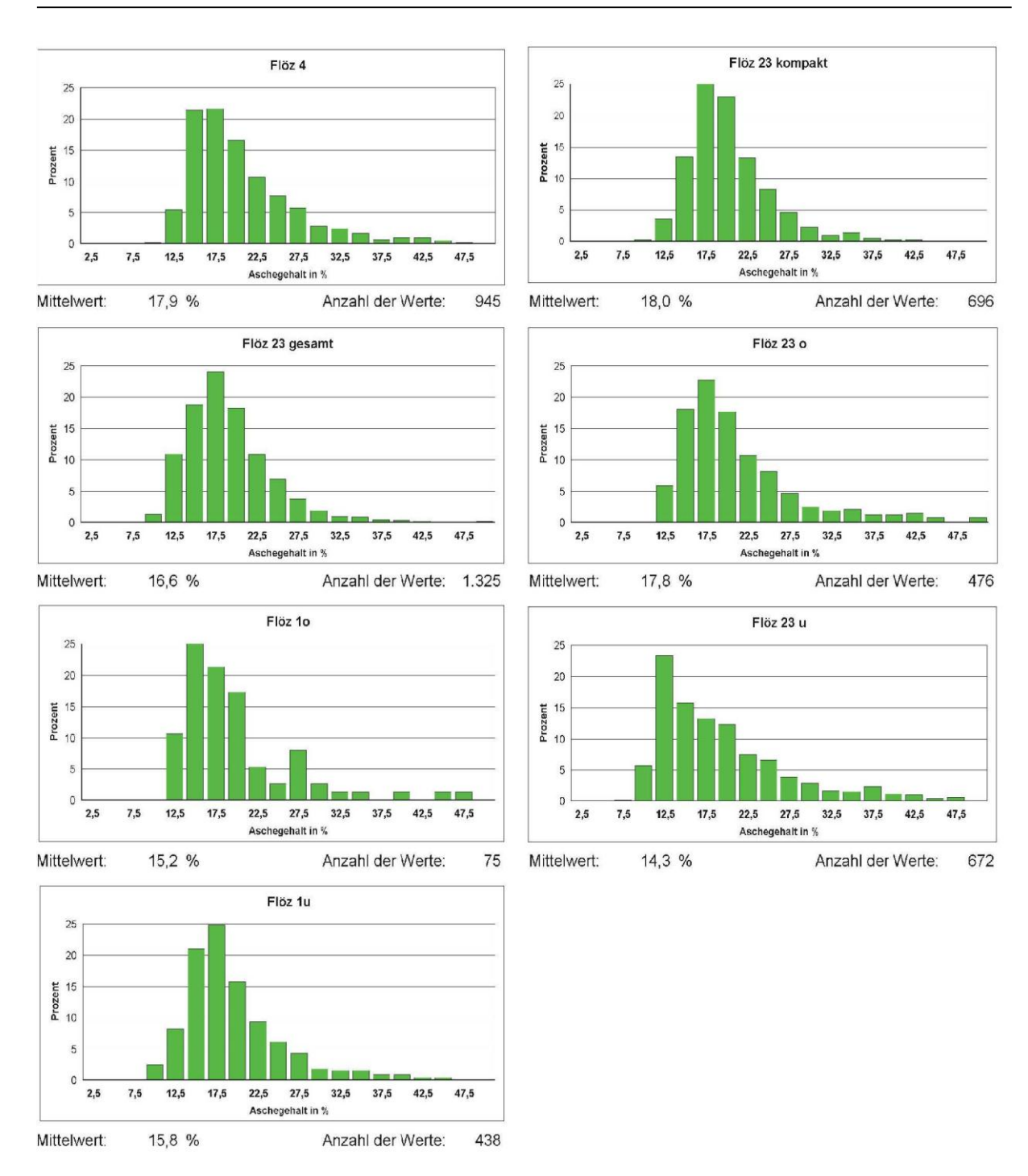
F. Darbinjan, J. Ueberfuhr, Gea Saxonia Freiberg

Anl. 6.1:	Häufigkeitsverteilung Aschegehalt
Anl. 6.2:	Häufigkeitsverteilung SiO ₂ (Asche)
Anl. 6.3:	Häufigkeitsverteilung CaO (Asche)
Anl. 6.4:	Häufigkeitsverteilung MgO (Asche)
Anl. 6.5:	Häufigkeitsverteilung Al₂O₃ (Asche)
Anl. 6.6:	Häufigkeitsverteilung Fe ₂ O ₃
Anl. 6.7:	Häufigkeitsverteilung Na₂O
Anl. 6.8:	Häufigkeitsverteilung TiO ₂
Anl. 6.9:	Häufigkeitsverteilung St ^d
Anl. 6.10:	Korrelation SiO ₂ (bez. auf Asche) zu Asche (Datenbasis: Summe)
Anl. 6.11:	Korrelation Al ₂ O ₃ (bez. auf Asche) zu Asche (Datenbasis: Summe)
Anl. 6.12:	Korrelation CaO (bez. auf Asche) zu Asche (Datenbasis: Summe)
Anl. 6.13:	Korrelation MgO (bez. auf Asche) zu Asche (Datenbasis: Summe)
Anl. 6.14:	Korrelation Fe ₂ O ₃ (bez. auf Asche) zu Asche (Datenbasis: Summe)
Anl. 6.15:	Korrelation Na ₂ O (bez. auf Asche) zu Asche (Datenbasis: Summe)
Anl. 6.16:	Korrelation TiO ₂ (bez. auf Asche) zu Asche (Datenbasis: Summe)
Anl. 6.17:	Korrelation Gesamtschwefel zu Asche (Datenbasis: Summe)
Anl. 6.18:	Korrelation Fe_2O_3 (bez. auf Asche) zu Gesamtschwefel (Datenbasis: Summe)







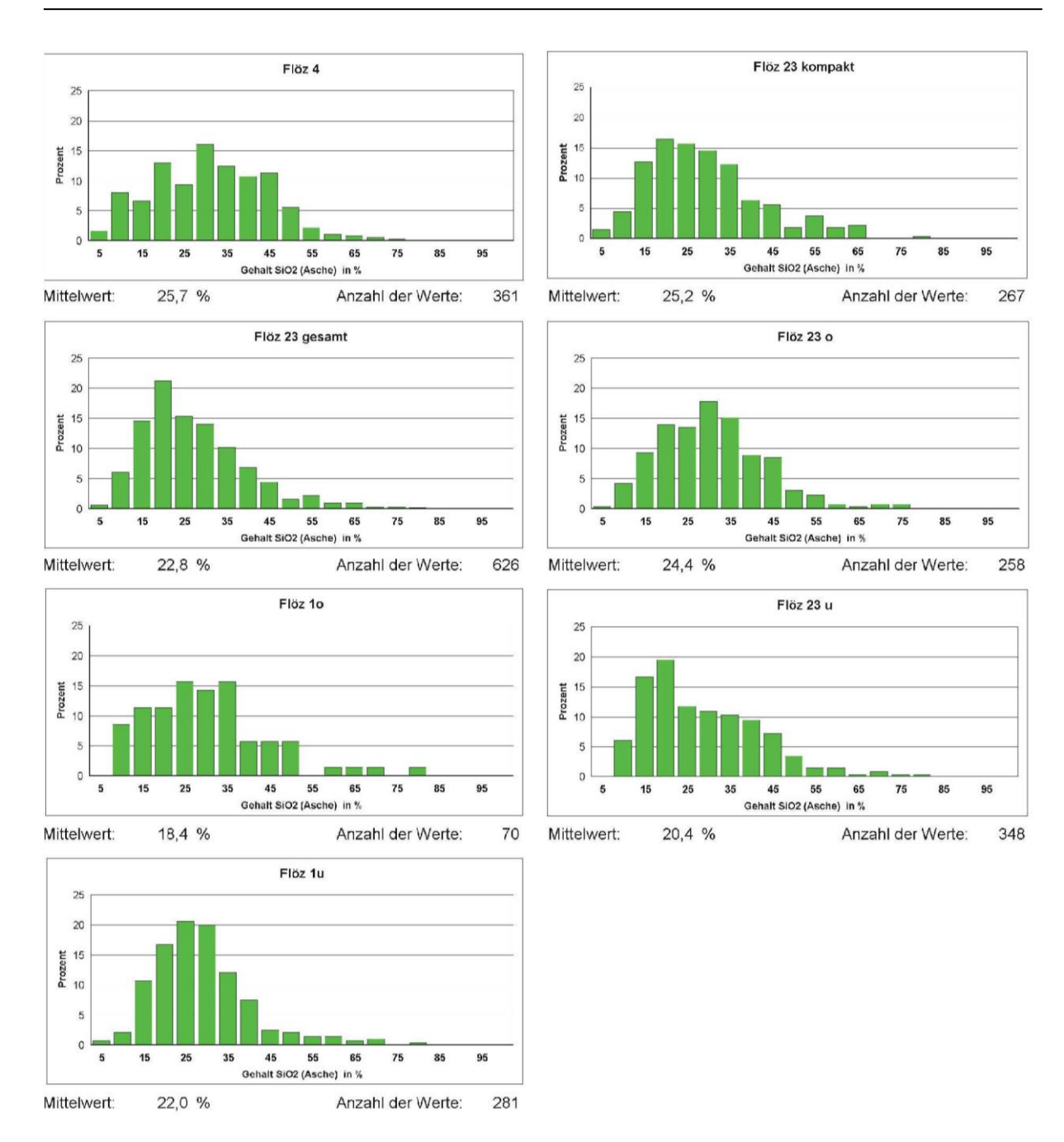


Anl. 6.1: Häufigkeitsverteilung Aschegehalt







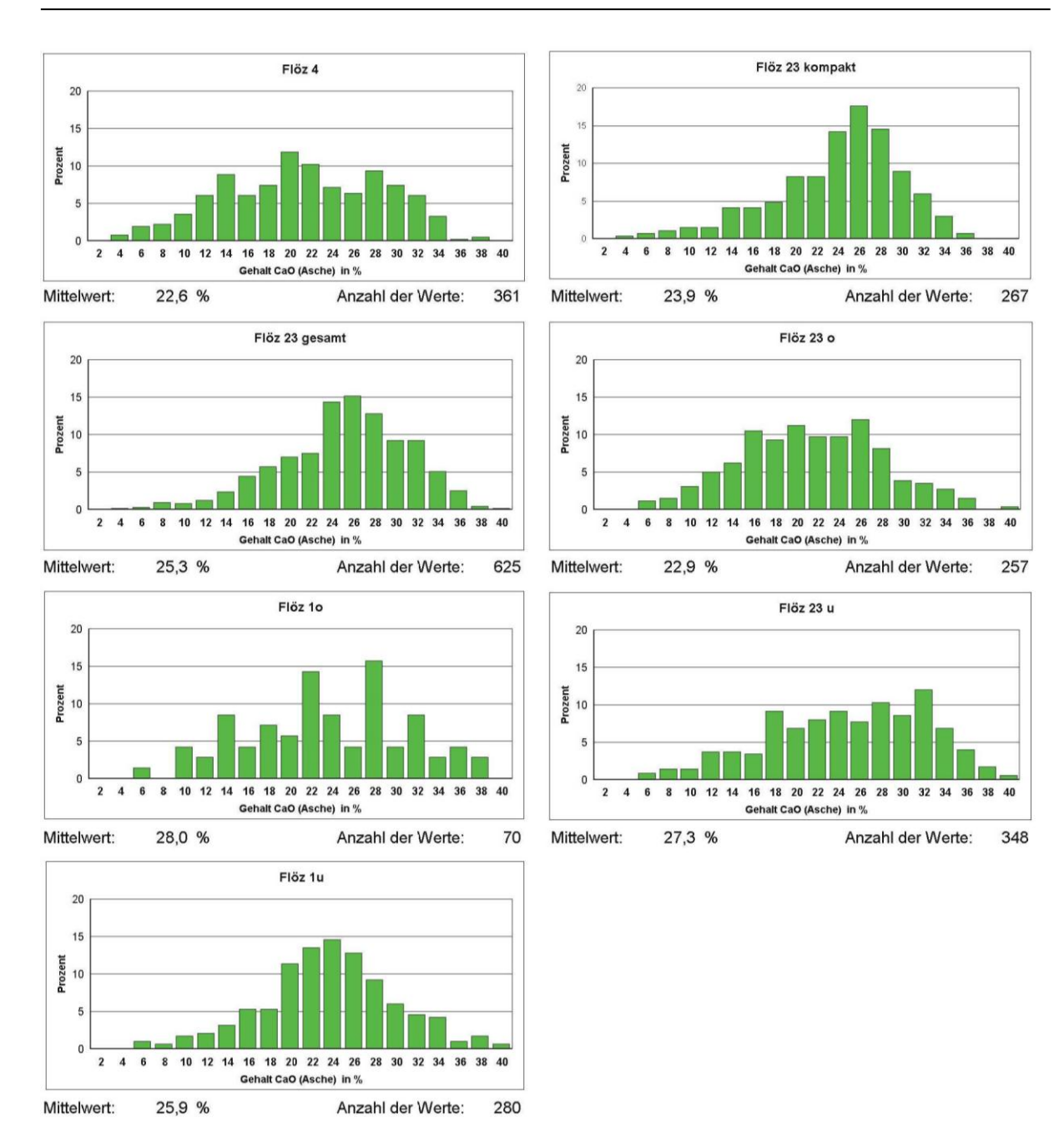


Anl. 6.2: Häufigkeitsverteilung SiO₂ (Asche)







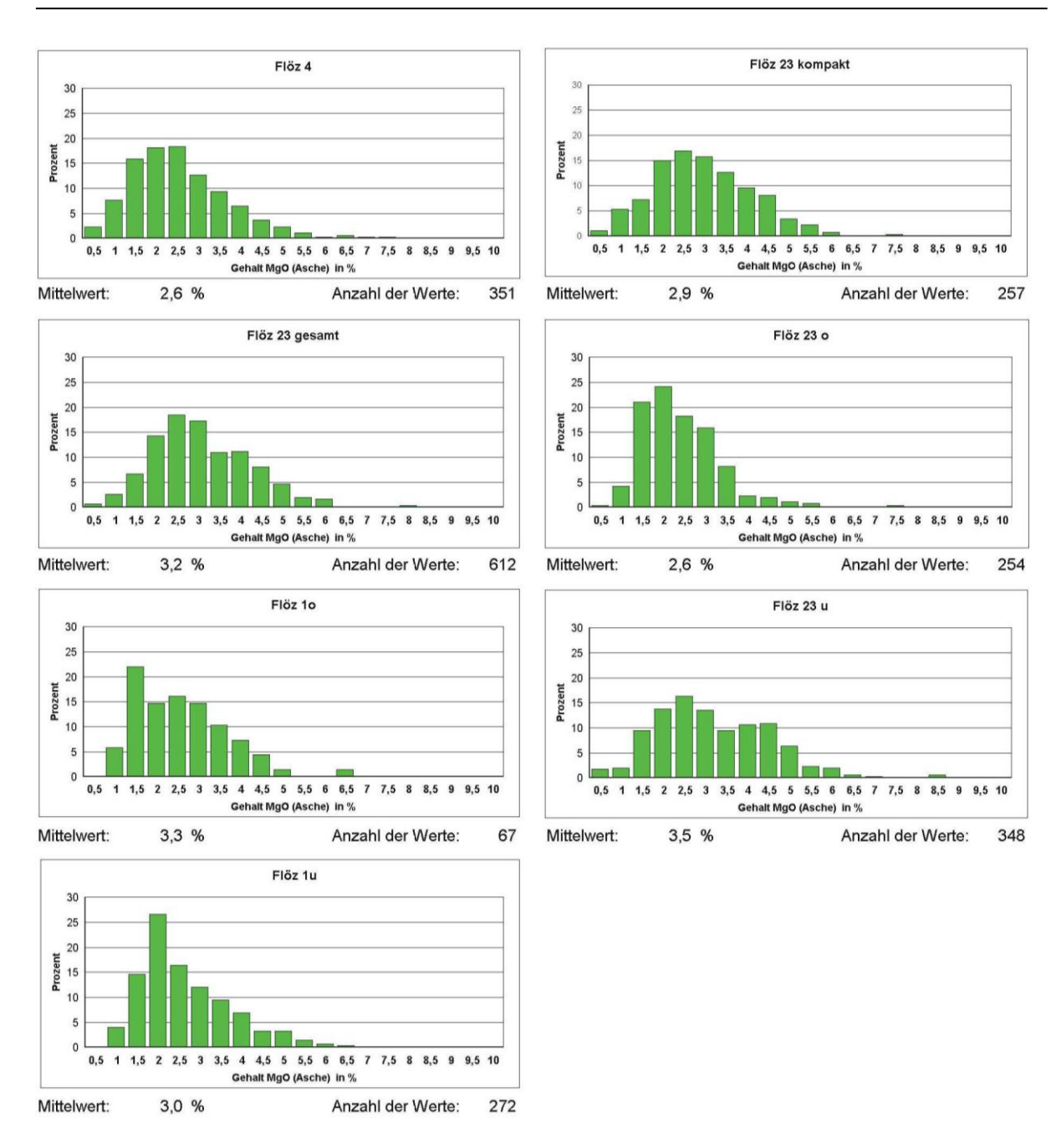


Anl. 6.3: Häufigkeitsverteilung CaO (Asche)







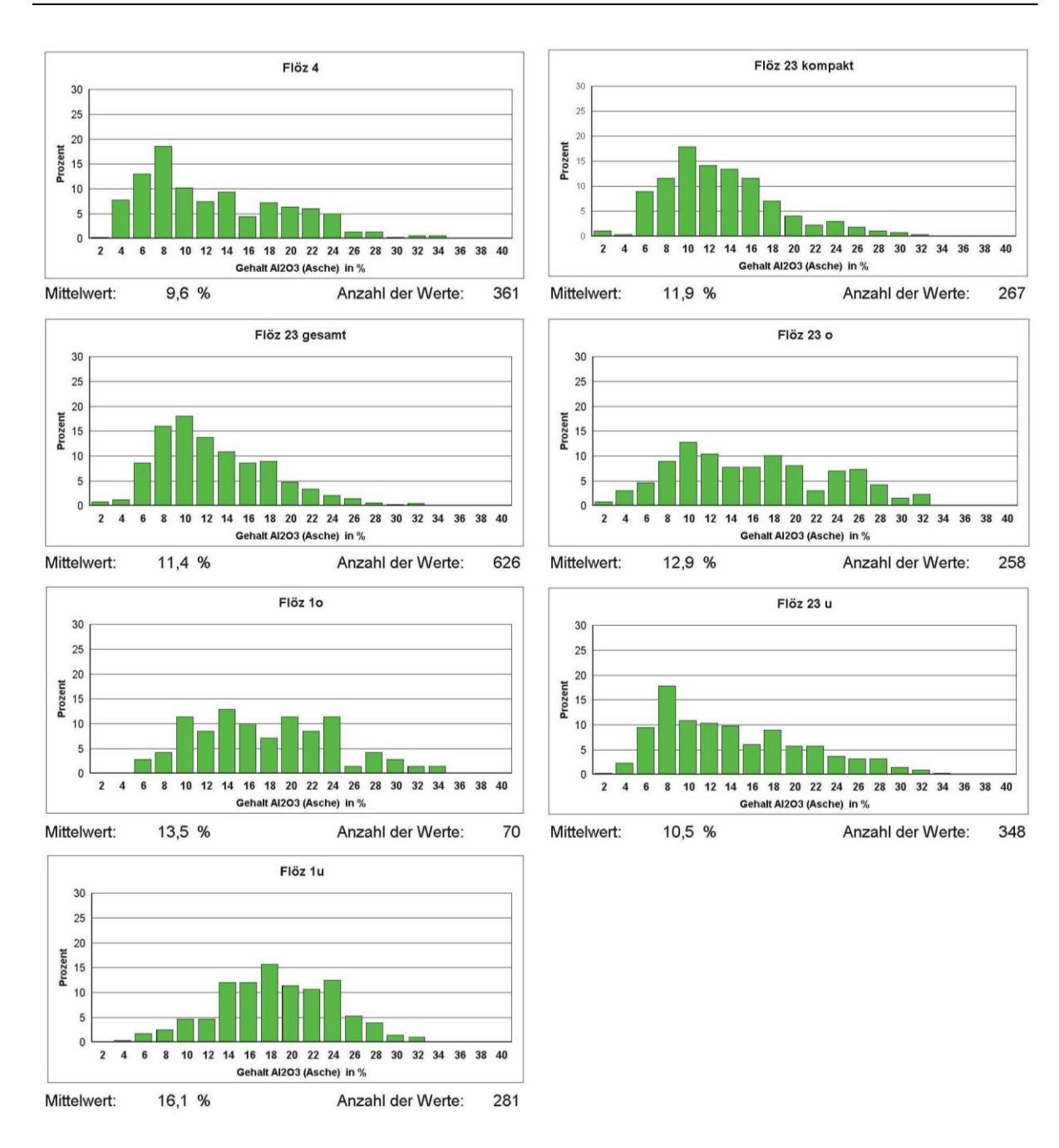


Anl. 6.4: Häufigkeitsverteilung MgO (Asche)







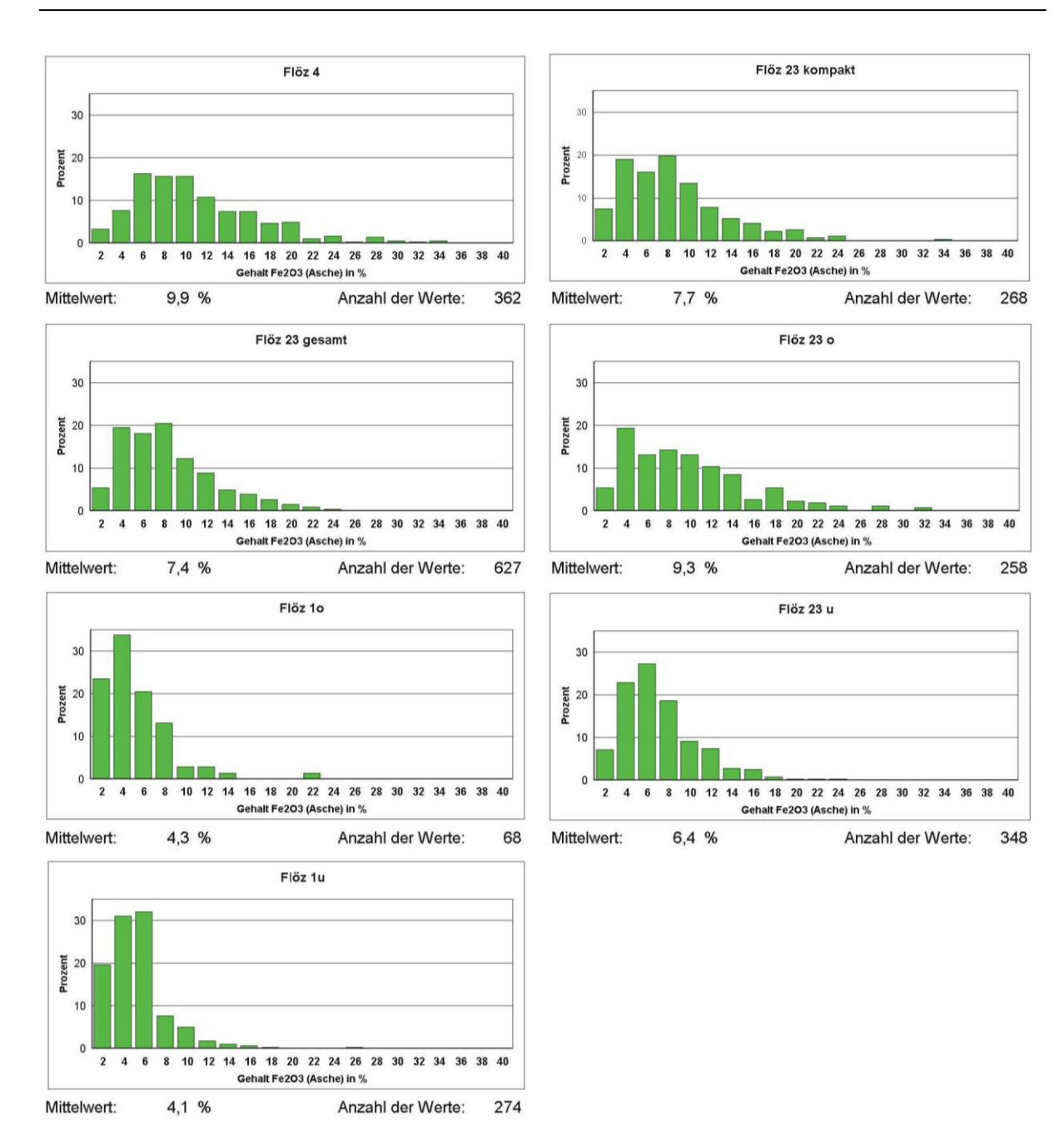


Anl. 6.5: Häufigkeitsverteilung Al₂O₃ (Asche)







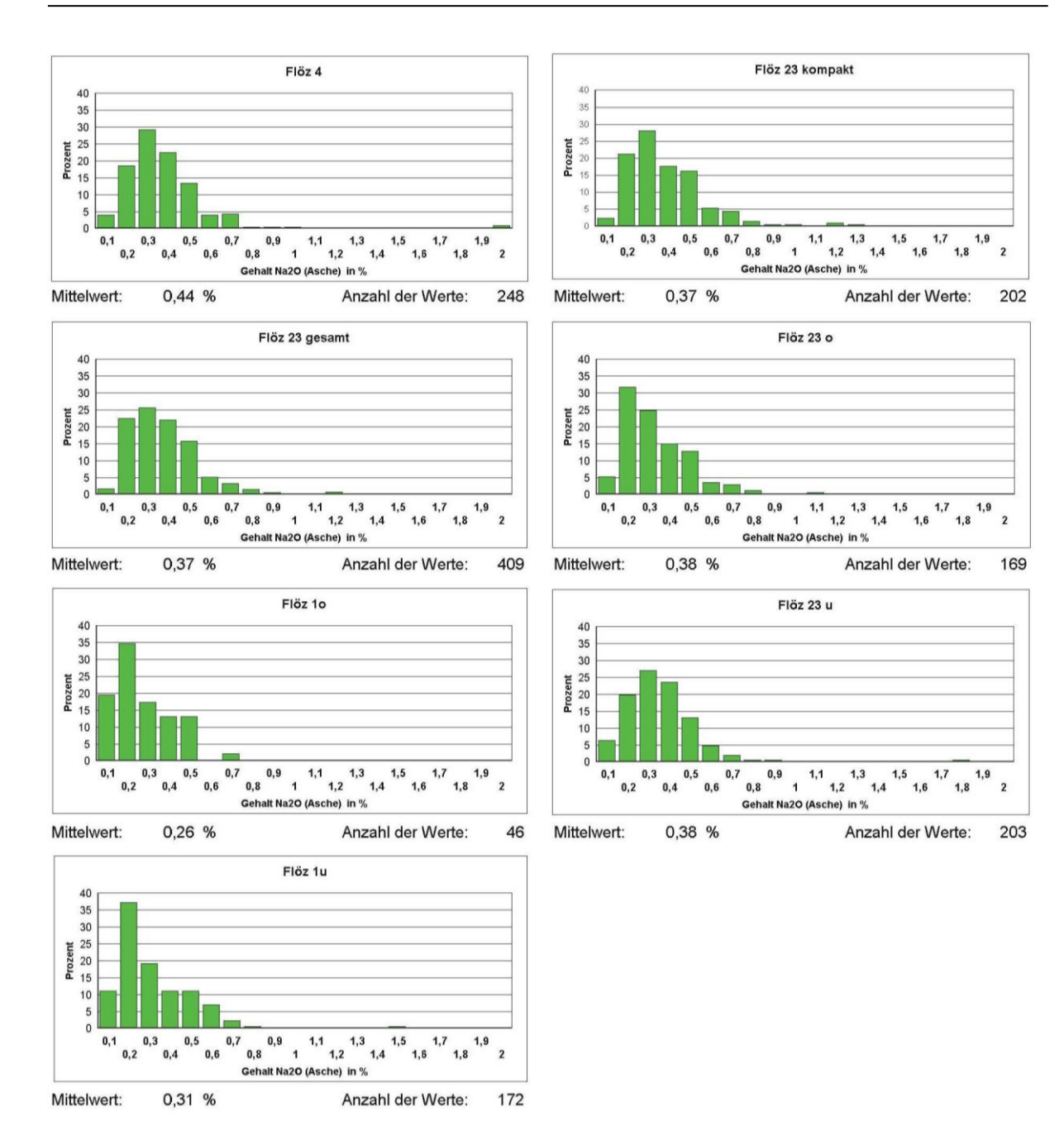


Anl. 6.6: Häufigkeitsverteilung Fe₂O₃







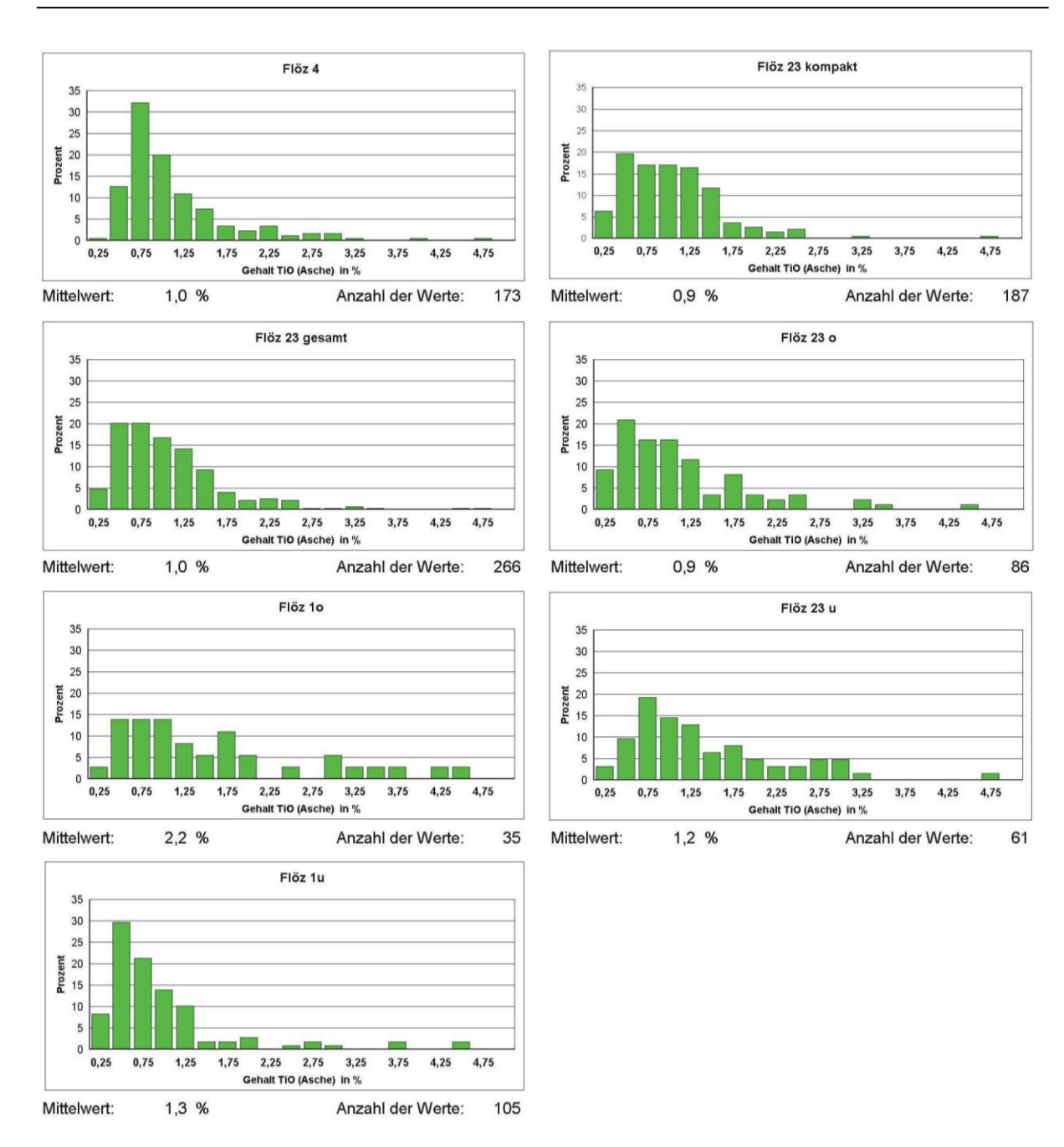


Anl. 6.7: Häufigkeitsverteilung Na₂O







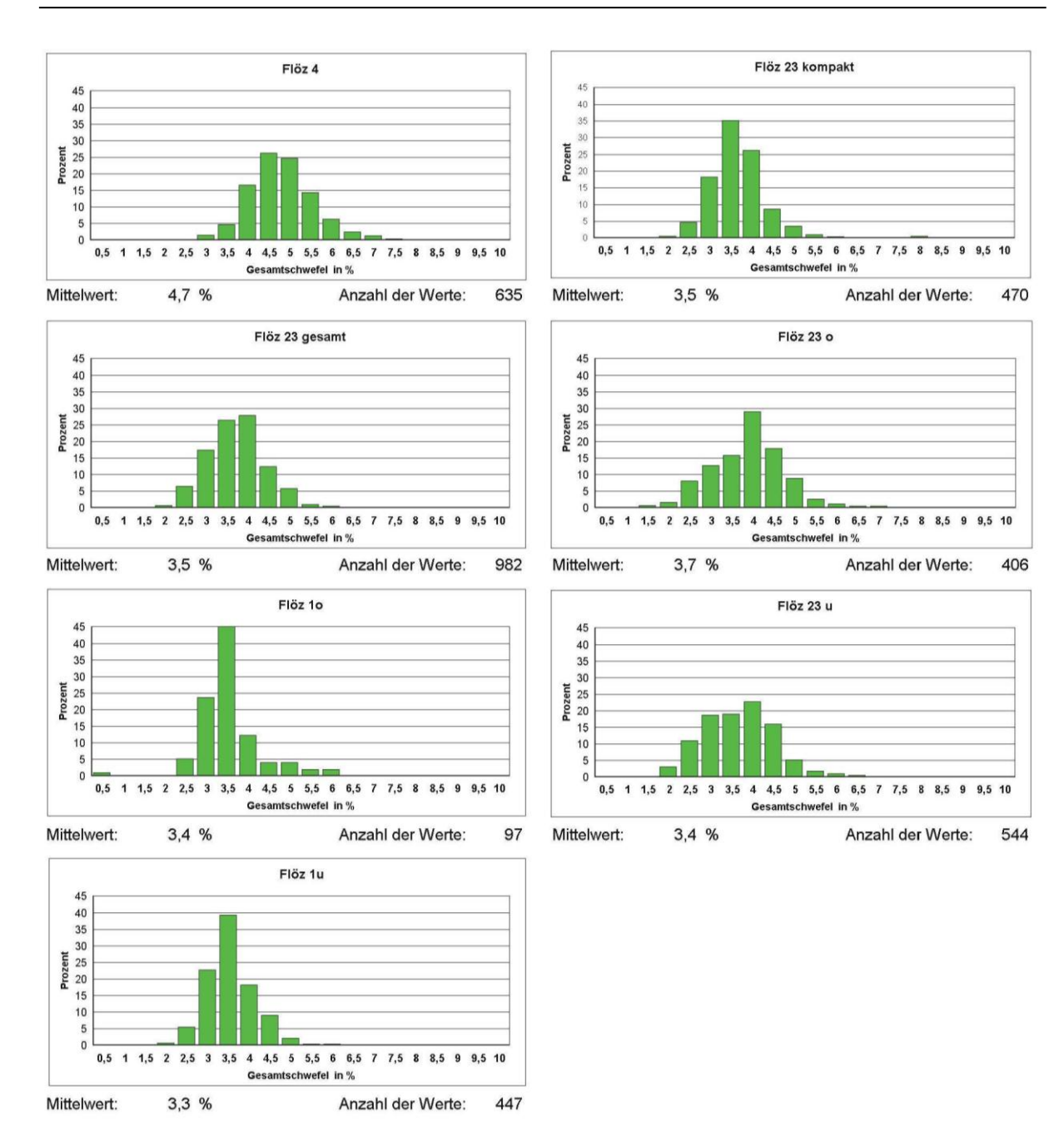


Anl. 6.8: Häufigkeitsverteilung TiO₂







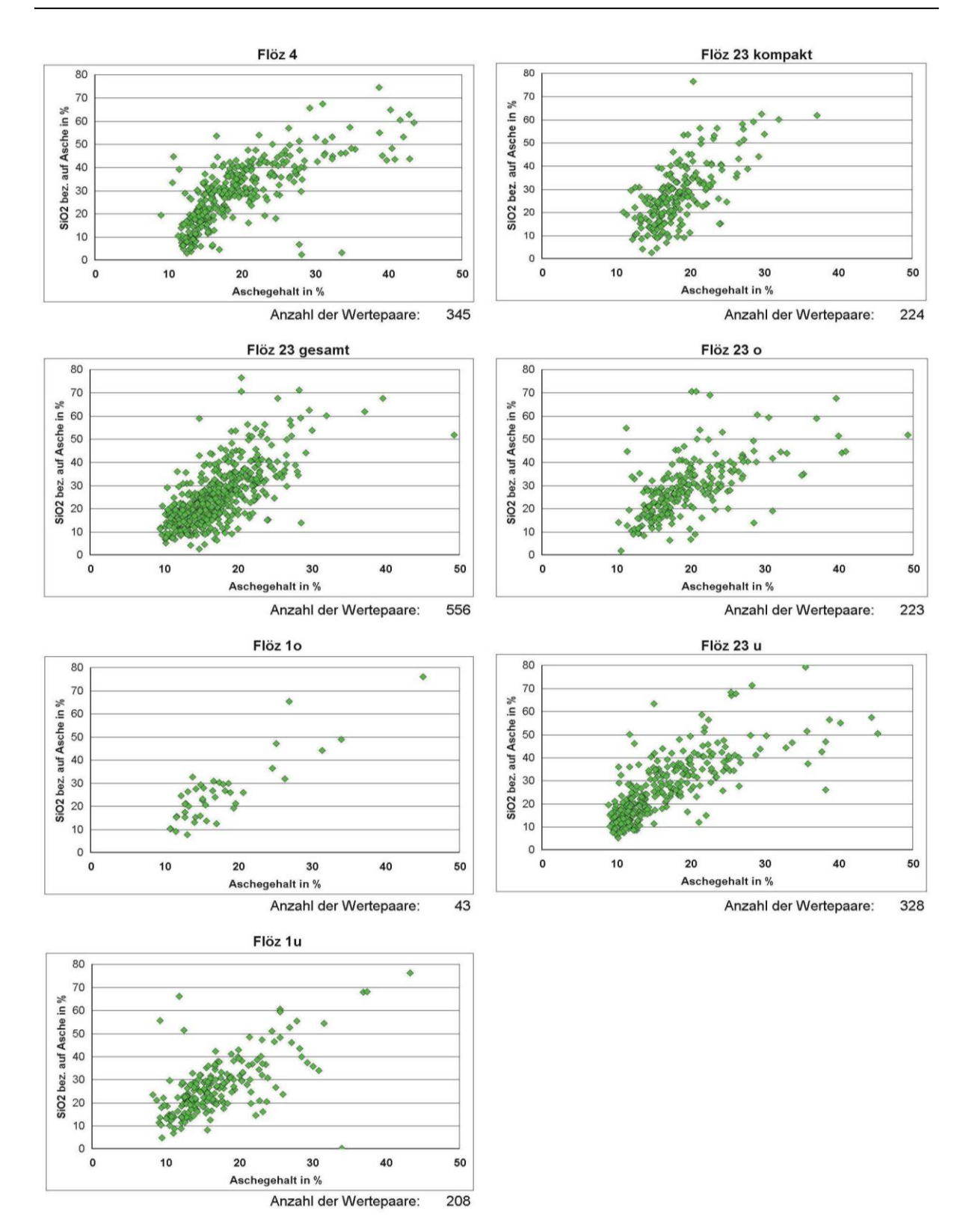


Anl. 6.9: Häufigkeitsverteilung Std







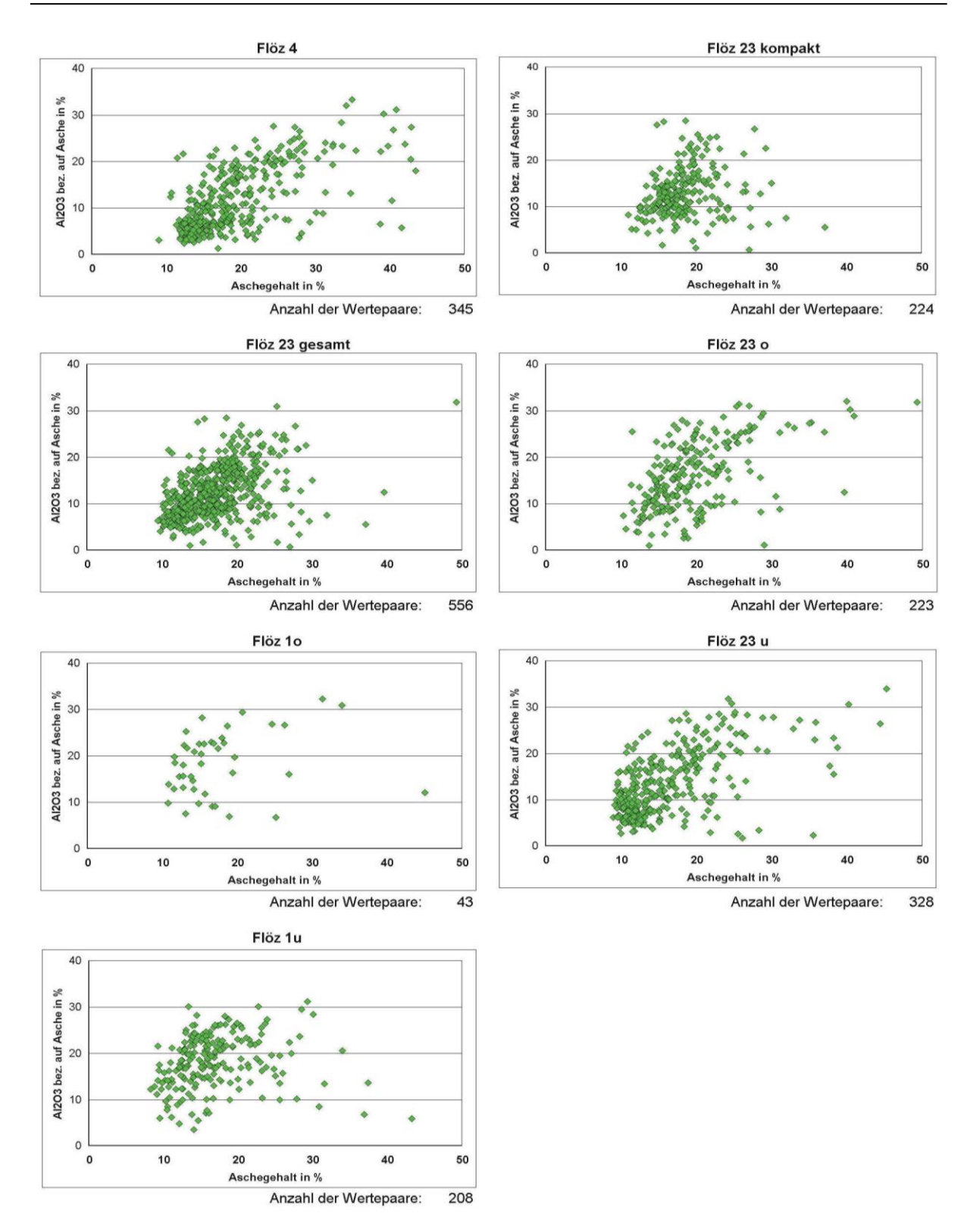


Anl. 6.10: Korrelation SiO₂ (bez. auf Asche) zu Asche (Datenbasis: Summe)







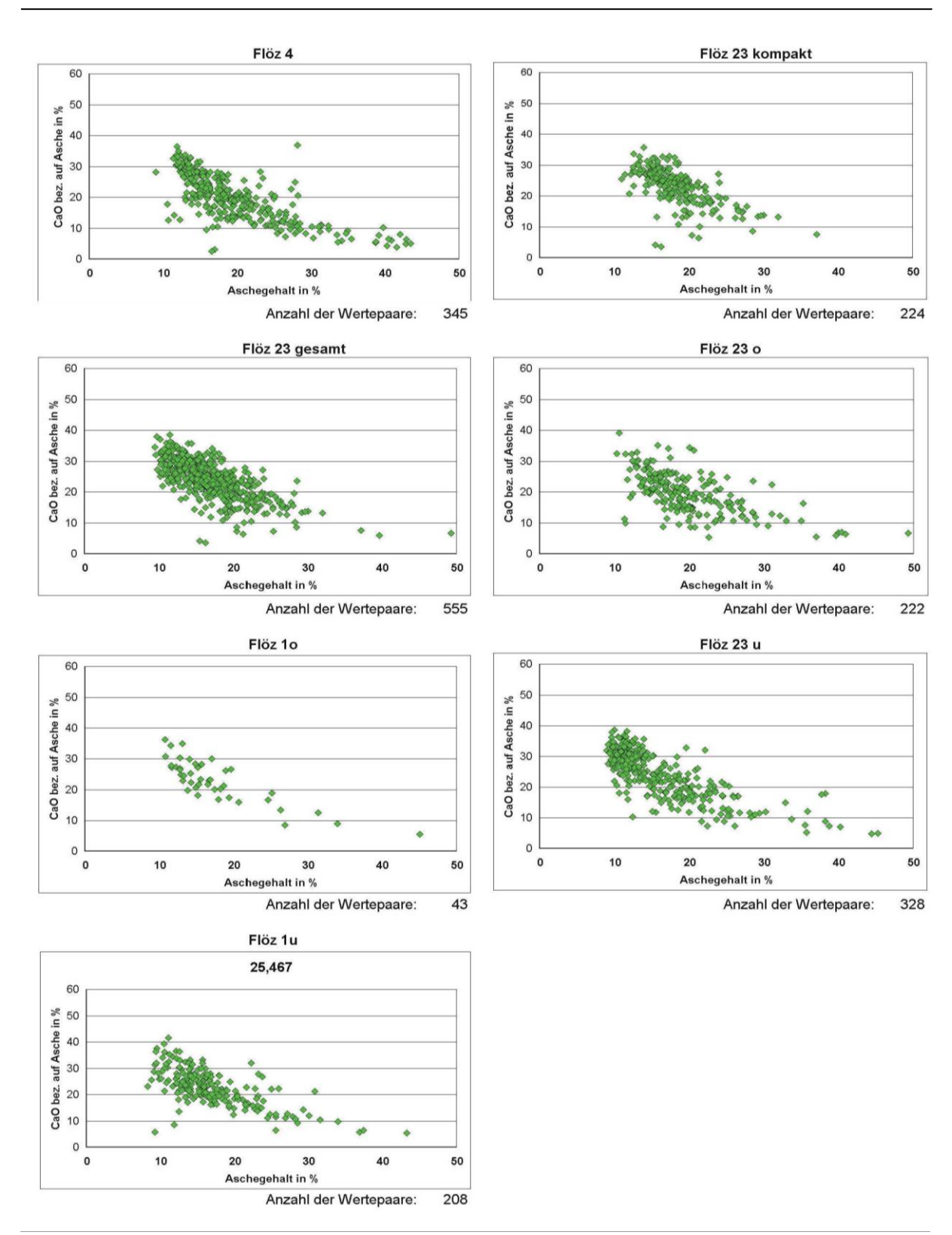


Anl. 6.11: Korrelation Al₂O₃ (bez. auf Asche) zu Asche (Datenbasis: Summe)







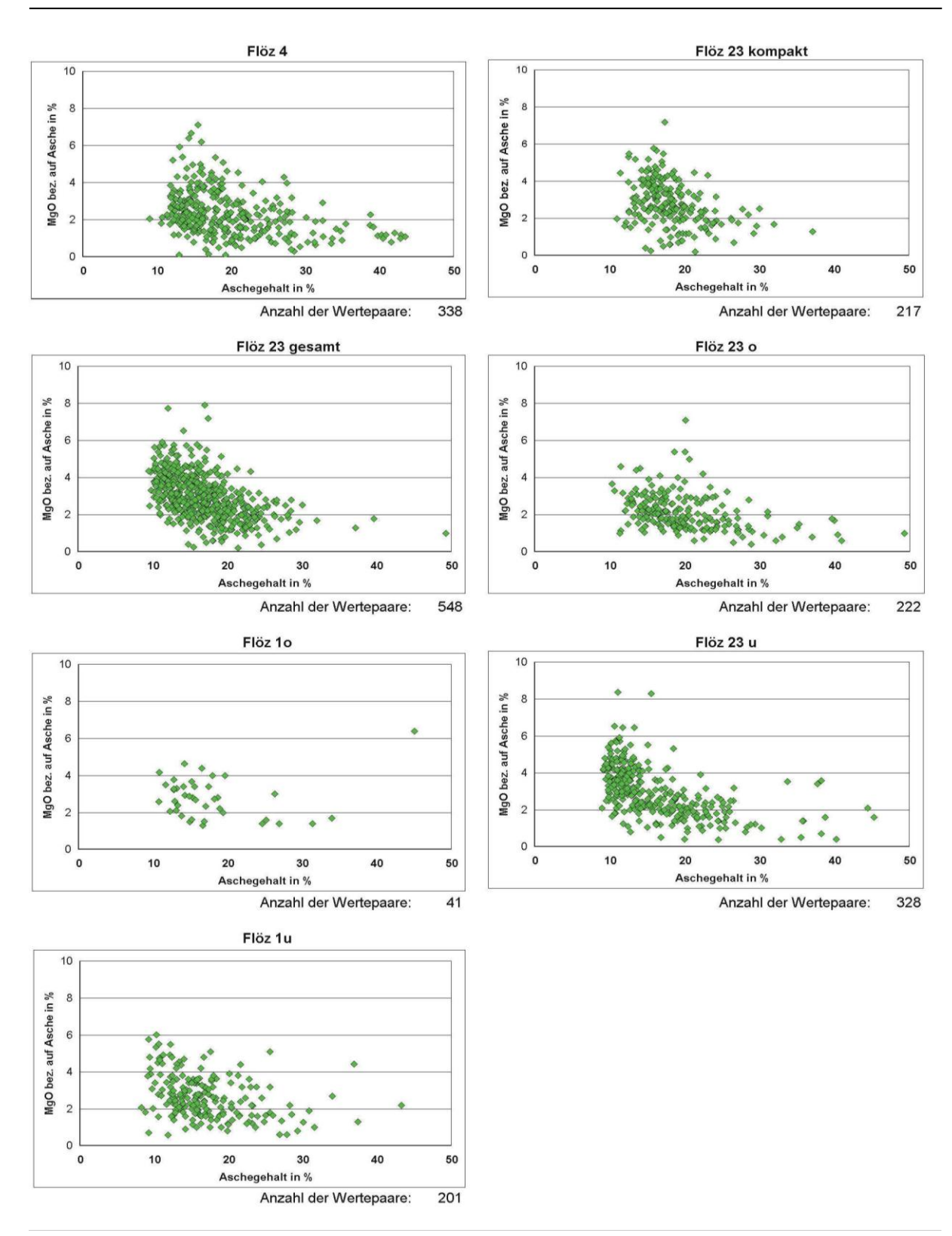


Anl. 6.12: Korrelation CaO (bez. auf Asche) zu Asche (Datenbasis: Summe)







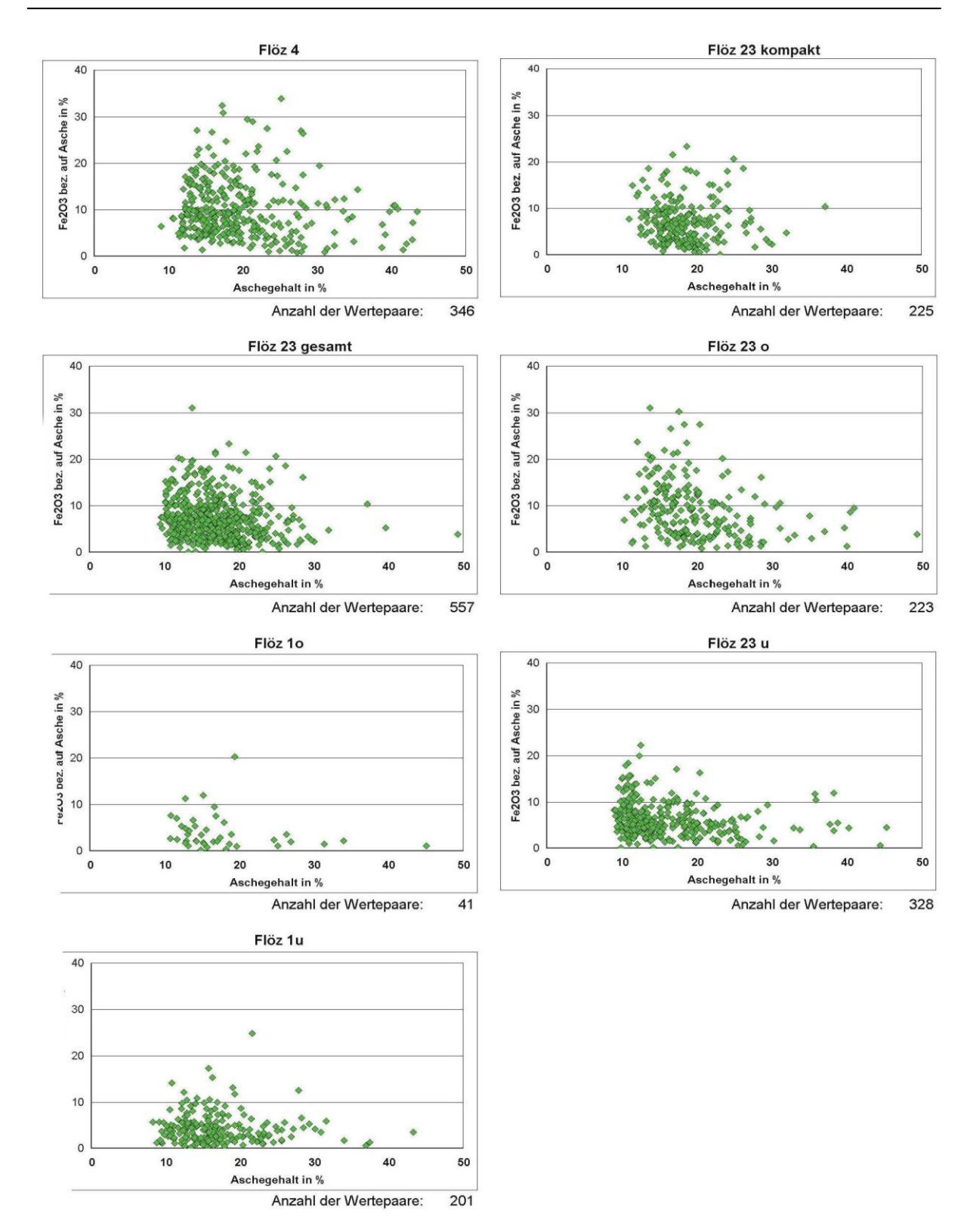


Anl. 6.13: Korrelation MgO (bez. auf Asche) zu Asche (Datenbasis: Summe)







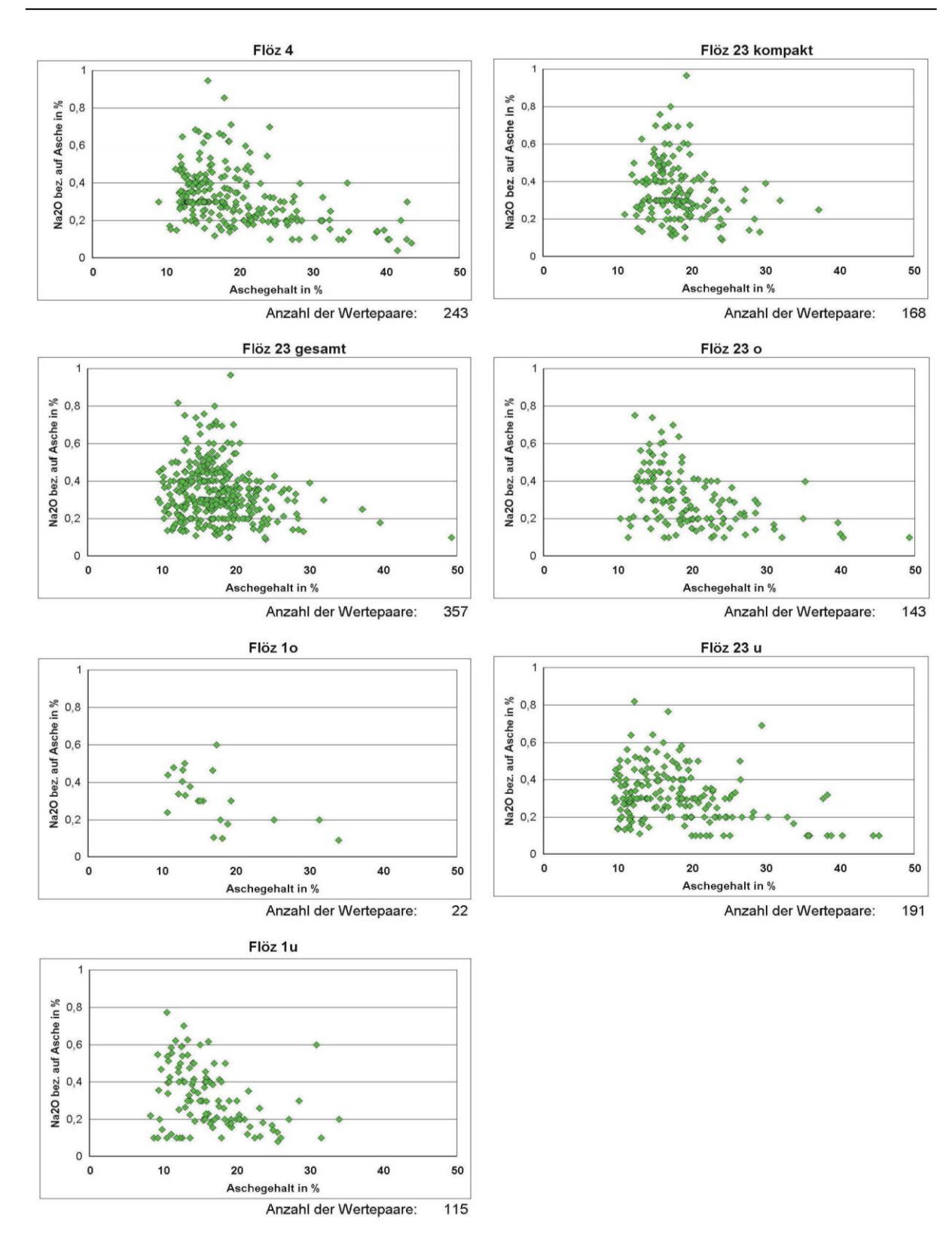


Anl. 6.14: Korrelation Fe₂O₃ (bez. auf Asche) zu Asche (Datenbasis: Summe)







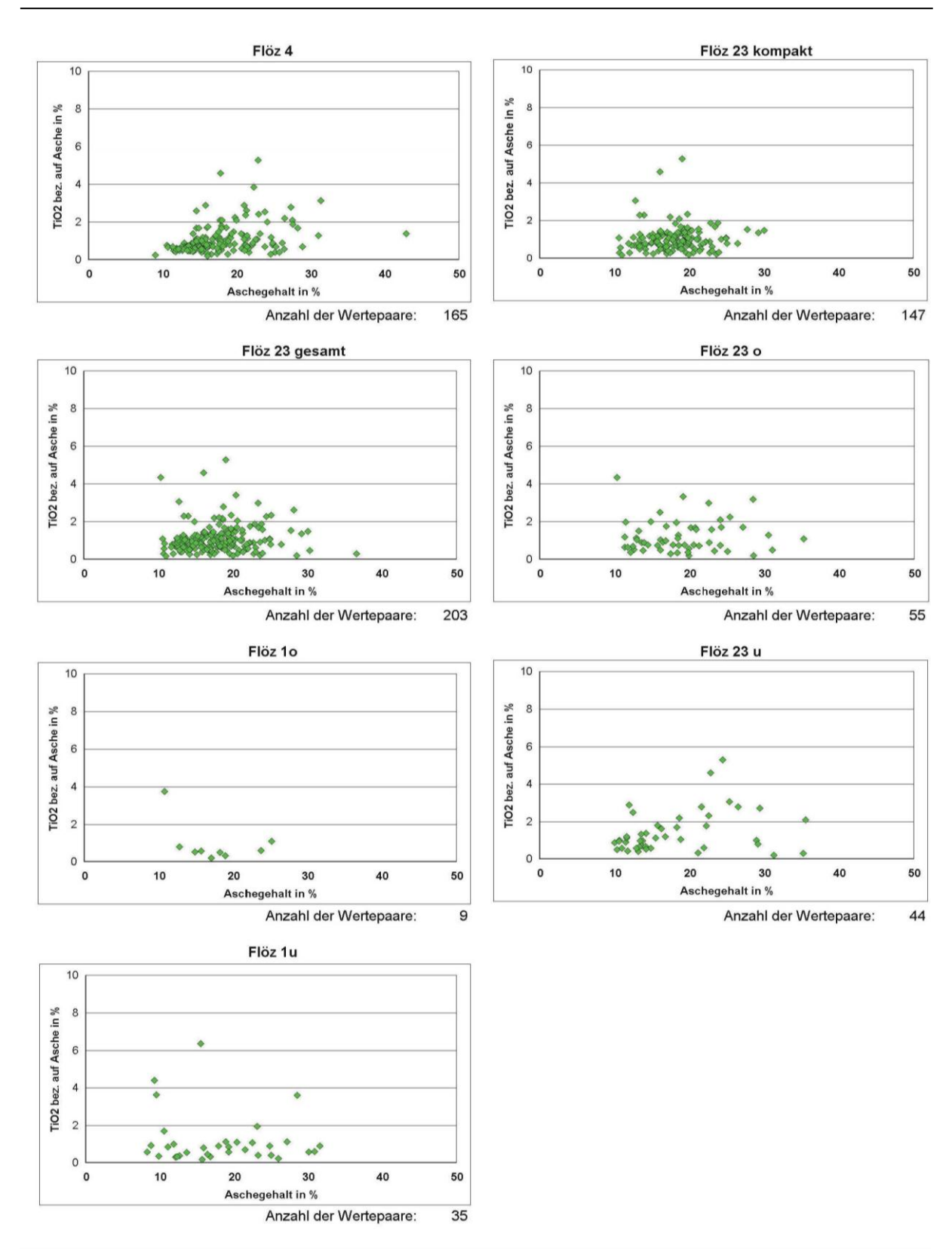


Anl. 6.15: Korrelation Na₂O (bez. auf Asche) zu Asche (Datenbasis: Summe)







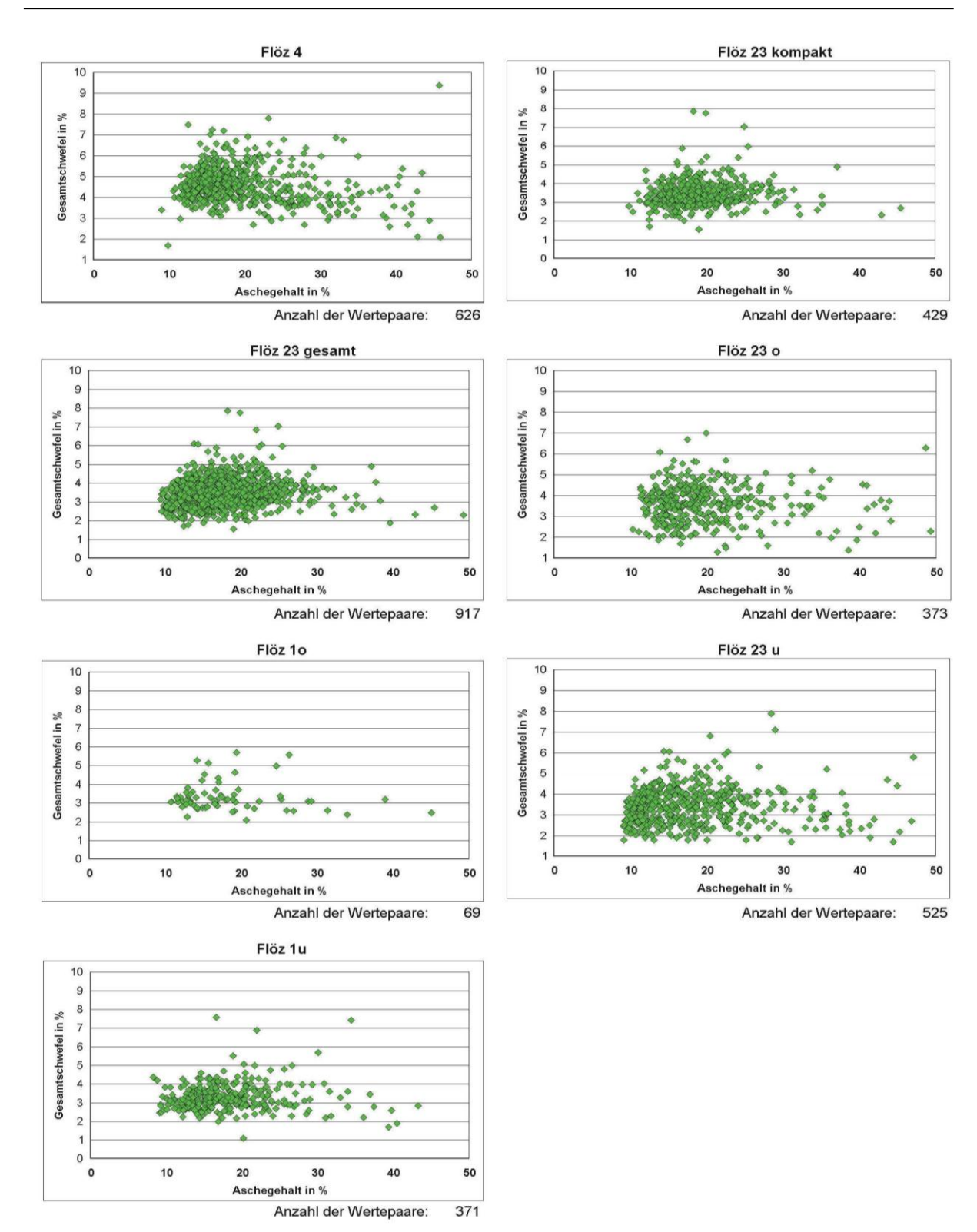


Anl. 6.16: Korrelation TiO₂ (bez. auf Asche) zu Asche (Datenbasis: Summe)







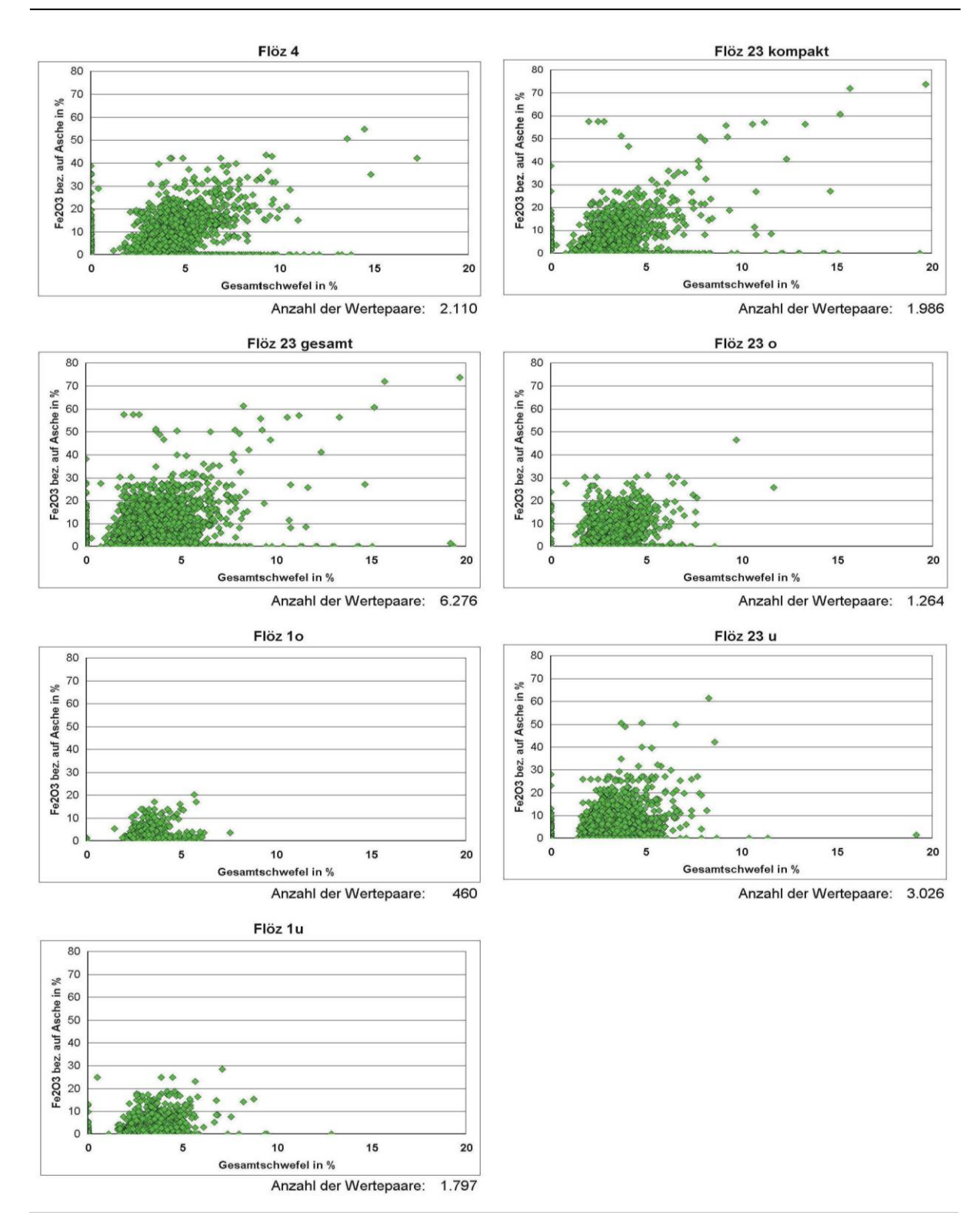


Anl. 6.17: Korrelation Gesamtschwefel zu Asche (Datenbasis: Summe)









Anl. 6.18: Korrelation Fe₂O₃ (bez. auf Asche) zu Gesamtschwefel (Datenbasis: Summe)